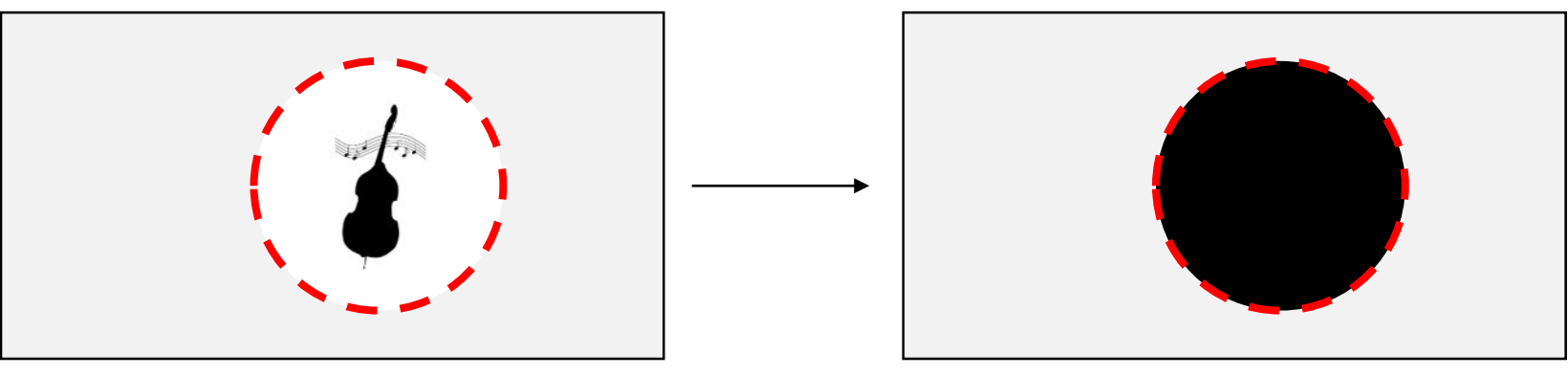


研究背景

音場再現
音源による放射性音場の再現



従来手法

- 音場の境界線上にスピーカアレイを配置
- 再現できる音場はスピーカアレイの規模による



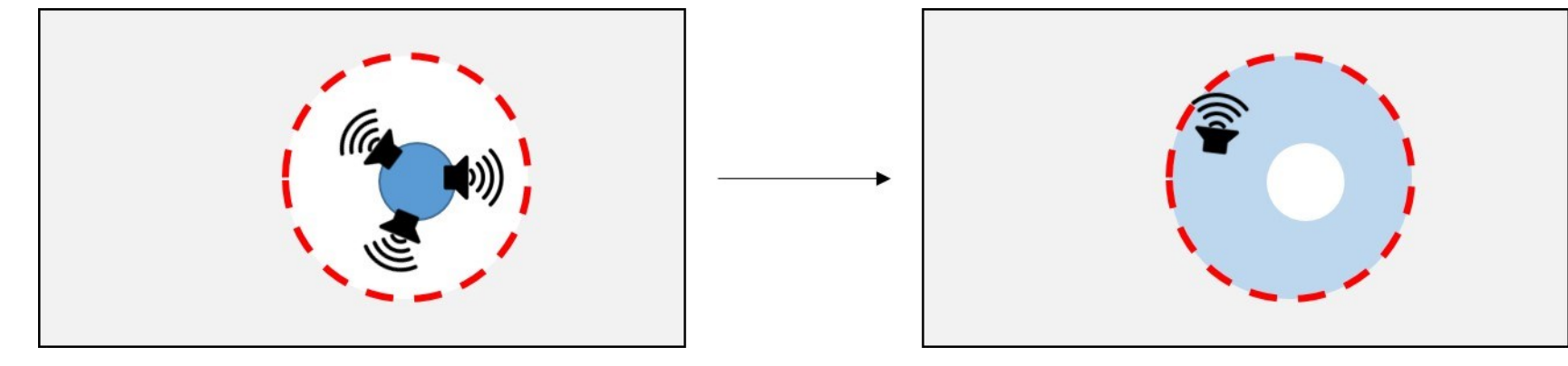
目標システム

- 境界線の内部にスピーカアレイを配置
- 大型楽器をコンパクトなスピーカで再現



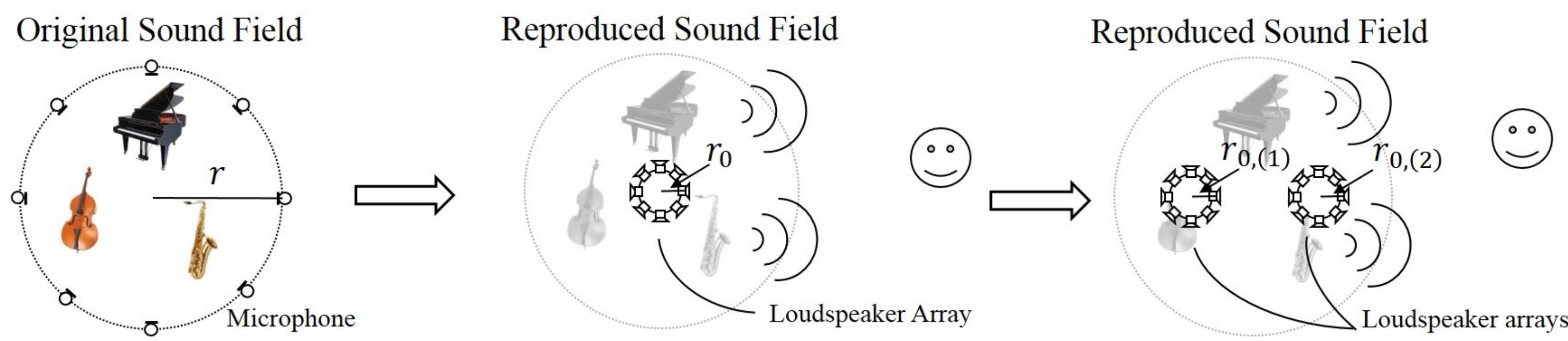
検討課題

スピーカアレイの外側にある音源の再現



2つの剛円スピーカアレイを用いた音場再現

- 単一の円形スピーカアレイは外側の音源は再現できるが、再現可能な音源距離が短い、帯域が狭い。(任, 佐藤, 羽田, 2018春音響学会)
- そこで2つの円形スピーカアレイを用いた手法を提案し、単一の円形スピーカアレイより良い結果を得た。(任, 羽田, 2018秋音響学会)



手法

- Pressure-matching method(PM): 周波数領域最小二乗法

$$\mathbf{d} = (\mathbf{G}^H \mathbf{P}) / (\mathbf{G}^H \mathbf{G} + \lambda \mathbf{I})$$
- 2つの円形スピーカアレイは剛体仮定の伝達関数を前報で導出した。

P: 制御点での音圧
 d: 駆動信号
 G: 伝達関数

伝達関数 (アレイインデックス: $\zeta \in \{1, 2\}$, $\bar{\zeta} \in \{1, 2\}$: ζ と異なる値)

$$G_{(\zeta)}(\mathbf{r}|\mathbf{r}') = (\boldsymbol{\psi}_{(\zeta)}^T + \boldsymbol{\psi}_{(\bar{\zeta})}^T \mathbf{T}_{(\bar{\zeta})} + \boldsymbol{\psi}_{(\zeta)}^T \mathbf{T}_{(\zeta)} \mathbf{T}_{(\bar{\zeta})} + \dots) \boldsymbol{\gamma}_{(\zeta)} \quad (1)$$

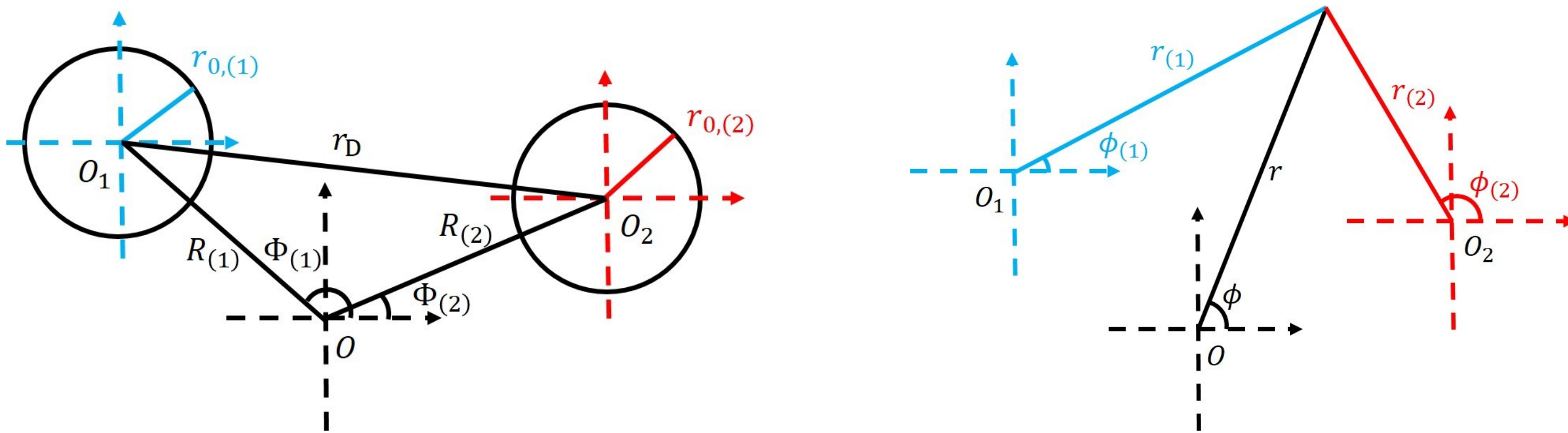
$\boldsymbol{\gamma}_{(\zeta)}$, $\boldsymbol{\psi}_{(\zeta)}$ は以下の式の次数 v を $-N$ から N まで並べた $(2N+1) \times 1$ のベクトル

$$\gamma_{v,(\zeta)} = -\frac{e^{-jv\phi_{(\zeta)}}}{2\pi k r_{0,(\zeta)} H_v^{(2)'}(k r_{0,(\zeta)})}, \quad \psi_{v,(\zeta)} = H_v^{(2)}(k r_{(\zeta)}) e^{jv\phi_{(\zeta)}}$$

k: 波数
 $J_v(z)$: Bessel関数
 $H_v^{(2)}(z)$: 第2種 Hankel関数

$\mathbf{T}_{(\zeta)}$ は音を剛円による反射音に変換する $(2N+1) \times (2N+1)$ の行列

座標設定



円調和展開に基づく音場制御法

極座標 (r, ϕ) の位置の音圧 $P(r, \phi)$ は $e^{jv\phi}$ を基底とした円調和関数で展開できる。

$$P(r, \phi) = \sum_{v=-\infty}^{\infty} \tilde{P}_v(r, k) e^{jv\phi}$$

外部音場 $\hat{\alpha}_v^s(k) H_v^{(2)}(kr) + \hat{\alpha}_v^i(k) J_v(kr)$ 内部音場

$\hat{\alpha}_v^s(k), \hat{\alpha}_v^i(k)$: 観測位置によらない音場展開係数

円形スピーカアレイによる再現音場を同様に展開:

$$P(r, \phi) = \sum_{l=1}^L G(r|r_l) d_l = \sum_{v=-\infty}^{\infty} L \tilde{G}_v(r|r_l, k) \tilde{d}_v(k) e^{jv\phi}$$

同じ中心の円周上に制御点を配置するとき、基底 $e^{jv\phi}$ はモードごと直交:

$$\tilde{d}_v(k) = L \tilde{G}_v(r|r_l, k) / \tilde{P}_v(r, k) \quad \tilde{d}_v(k): \text{波数領域での駆動信号}$$

この手法はMode-matching method: 波数領域でフィルタ係数を求める解析的な手法
但し、同心円上である必要がある。

(参考) Grafの加法定理

O_1 を中心とした座標系で点Aで観測された散乱波を O_2 を中心とした座標系の入射波に変換するとき

$$H_v^{(2)}(\sqrt{z^2 + \xi^2 - 2z\xi \cos \theta}) e^{jv\phi} = \sum_{\mu} H_{\mu+v}^{(2)}(z) J_{\mu}(\xi) e^{j\mu\theta} \quad (2)$$

$l = \sqrt{z^2 + \xi^2 - 2z\xi \cos \theta}$
 $|\xi| < |z|$
 ξ と z はさむ角が θ , ξ に対する角が ϕ

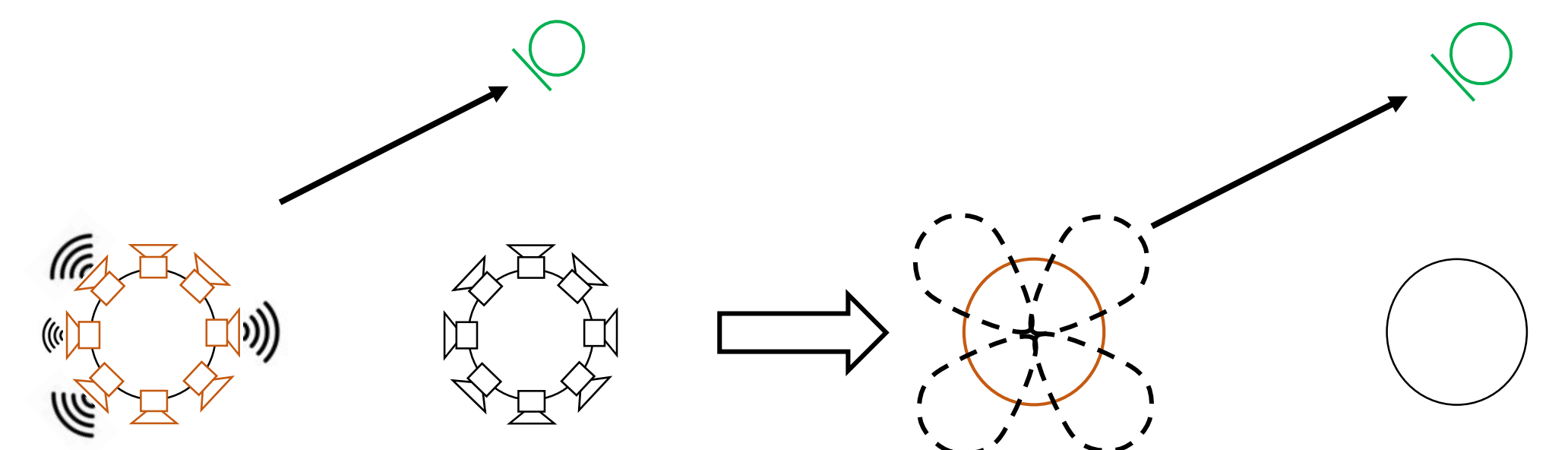
提案手法

- 本研究の目的はMode-matching methodのような解析的な手法を2円モデルに適用する。
- しかし2つのスピーカアレイの中心は目標音場の中心とずれたため、モードごとは直交していない。
- そこで、スピーカアレイのモードと目標音場のモードとの対応関係を導出し、波数領域で駆動信号を求める手法を提案する:

まず

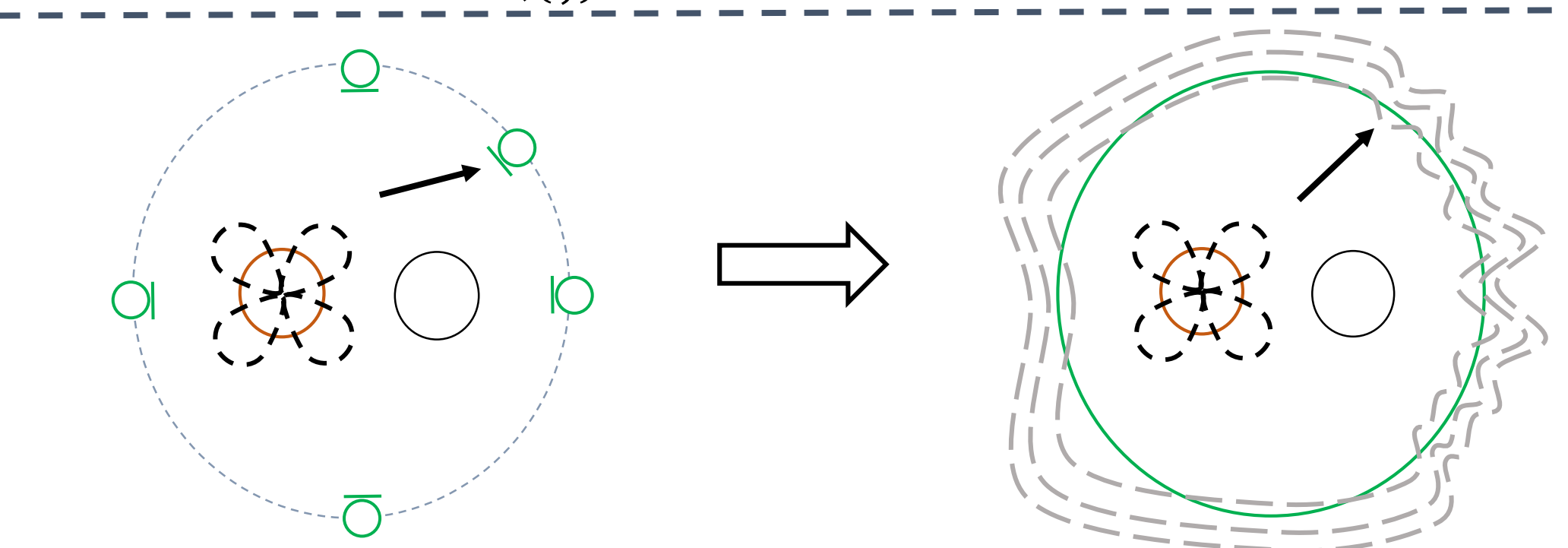
スピーカアレイのモードから観測点音圧への対応関係を求める

$$G_{(\zeta)}(\mathbf{r}|\mathbf{r}') = \sum_{v=-N}^N A_v(\mathbf{r}, k) \left(\frac{1}{2\pi k r_{0,(\zeta)} H_v^{(2)'}(k r_{0,(\zeta)})} e^{-jv\phi_{(\zeta)}} \right) \tilde{\gamma}_{v,(\zeta)}$$



次に

スピーカアレイのモードから観測点モードへの対応関係を求める



ここで $H_v^{(2)}(k r_{(\zeta)}) e^{jv\phi_{(\zeta)}}$ はGrafの加法定理(2)で変形できる($r > R_{(\zeta)}$):

$$H_v^{(2)}(k r_{(\zeta)}) e^{-jv(\phi - \phi_{(\zeta)})} = \sum_{\mu=-\infty}^{\infty} H_{\mu+v}^{(2)}(k r_{(\zeta)}) J_{\mu}(k R_{(\zeta)}) e^{-j\mu(\phi_{(\zeta)} - \phi)}$$

$$\xrightarrow[v_{\max} \gg v]{v' = \mu + v} H_v^{(2)}(k r_{(\zeta)}) e^{-jv(\phi - \phi_{(\zeta)})} = \sum_{v'=-\infty}^{\infty} H_{v'}^{(2)}(k r_{(\zeta)}) J_{v'-v}(k R_{(\zeta)}) e^{-j(v'-v)(\phi_{(\zeta)} - \phi)}$$

$$\Rightarrow H_v^{(2)}(k r_{(\zeta)}) e^{jv\phi_{(\zeta)}} = \sum_{v'=-\infty}^{\infty} \frac{(-1)^{v-v'} J_{v-v'}(k R_{(\zeta)}) e^{j(v-v')\phi_{(\zeta)}}}{K_{v-v',(\zeta)}} H_{v'}^{(2)}(k r_{(\zeta)}) e^{jv'\phi} = \eta_{v'}$$

再現音場は $\eta_{v'}$ を基底として展開可能: $P(r, \phi) = \sum_{\zeta} \mathbf{G}_{(\zeta)} \mathbf{d}_{(\zeta)} = \boldsymbol{\eta}^T \sum_{\zeta} \hat{\mathbf{G}}_{(\zeta)} \tilde{\mathbf{d}}_{(\zeta)}$

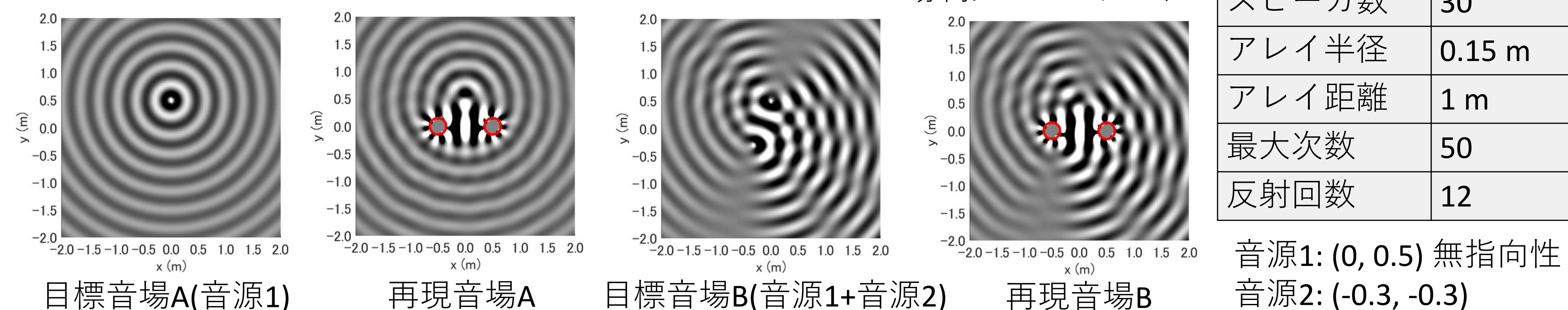
$\hat{\mathbf{G}}_{(\zeta)} = L_{(\zeta)} (\mathbf{K}_{(\zeta)}^T + \mathbf{K}_{(\bar{\zeta})}^T \mathbf{T}_{(\bar{\zeta})} + \mathbf{K}_{(\zeta)}^T \mathbf{T}_{(\zeta)} \mathbf{T}_{(\bar{\zeta})} + \dots) \tilde{\boldsymbol{\gamma}}_{(\zeta)}$: スピーカアレイのモードと所望音場のモードの対応関係
 $\mathbf{K}_{(\zeta)}$: 座標変換行列

所望音場 (外部音場) も展開: $P(r, \phi) = \sum_{v=-N}^N \hat{\alpha}_v(k) H_v^{(2)}(kr) e^{jv\phi} = \boldsymbol{\eta}^T \hat{\boldsymbol{\alpha}}$

モードの対応関係は直交性を持たないため $\boldsymbol{\eta}^T \sum_{\zeta} \hat{\mathbf{G}}_{(\zeta)} \tilde{\mathbf{d}}_{(\zeta)} - \boldsymbol{\eta}^T \hat{\boldsymbol{\alpha}} = 0$ を最小二乗法で解く。

シミュレーション

単一周波数音場再現 @1000 Hz



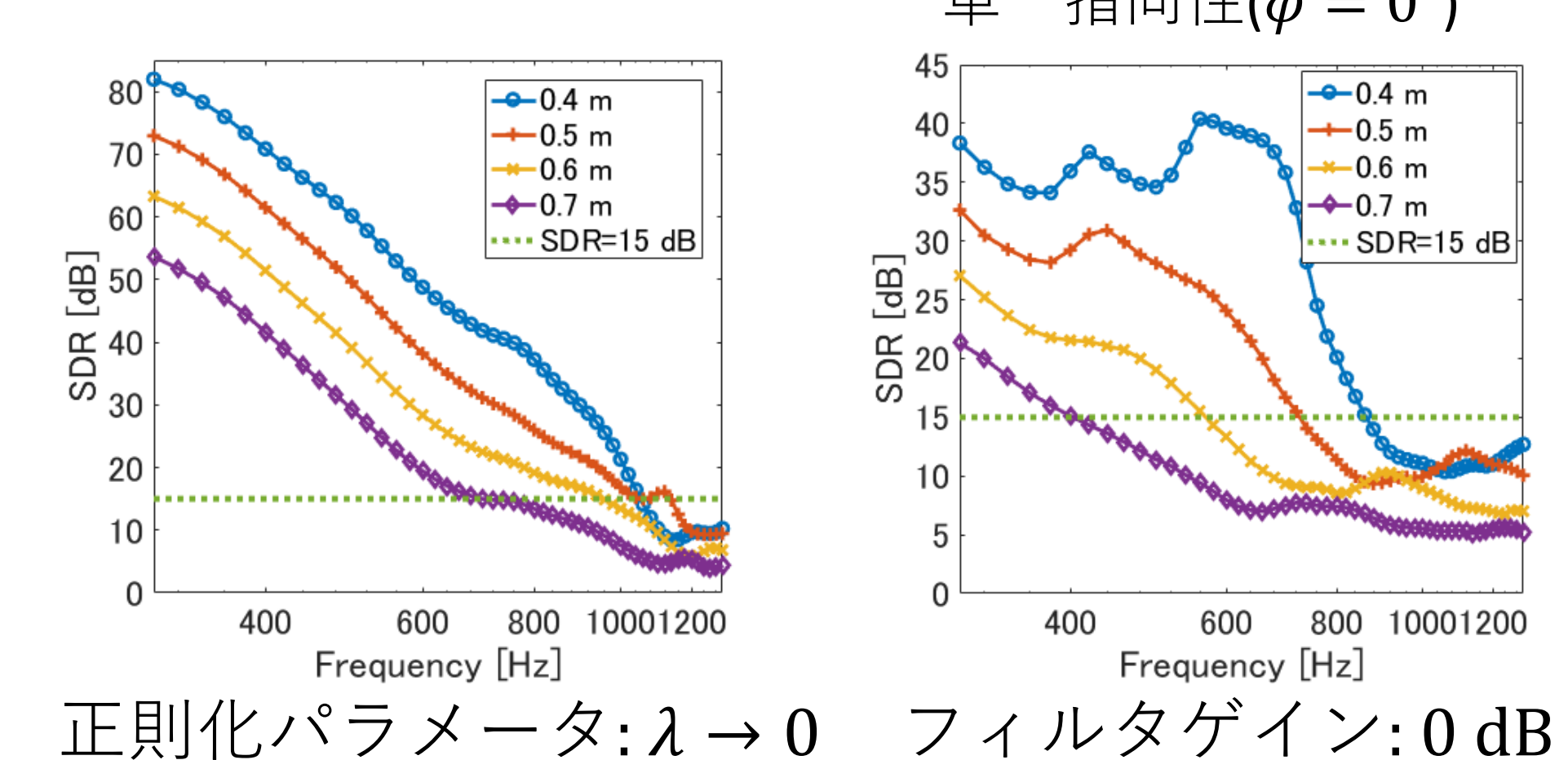
帯域 (300 - 1300 Hz)

音場再現精度SDR:

$$SDR = 10 \log_{10} \frac{\int_{\mathcal{C}} |P(\mathbf{r})|^2 d\mathbf{r}}{\int_{\mathcal{C}} |P(\mathbf{r}) - \hat{P}(\mathbf{r})|^2 d\mathbf{r}}$$

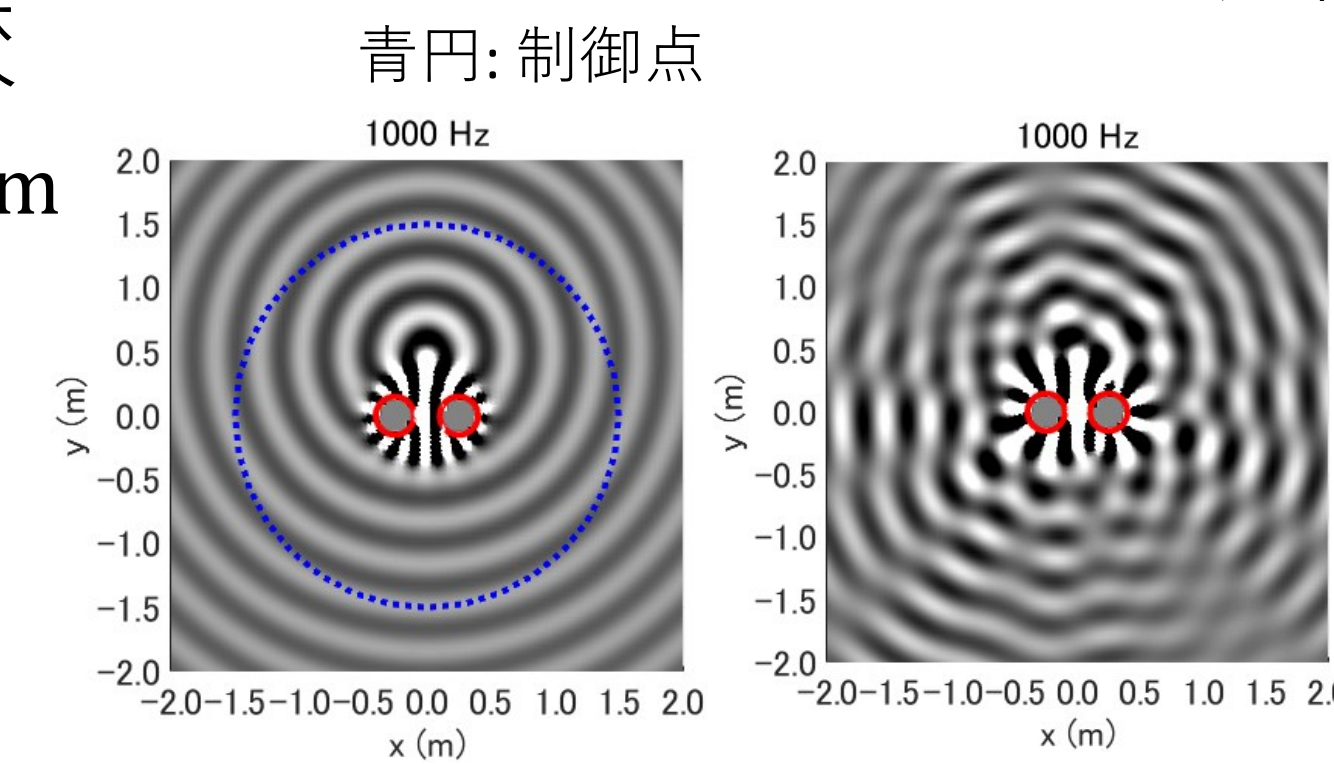
$\mathcal{C}: 1 \text{ m} \leq r \leq 2 \text{ m}$ の環状エリア

音源距離 $r_s = \{0.4 \text{ m}, 0.5 \text{ m}, 0.6 \text{ m}, 0.7 \text{ m}\}$

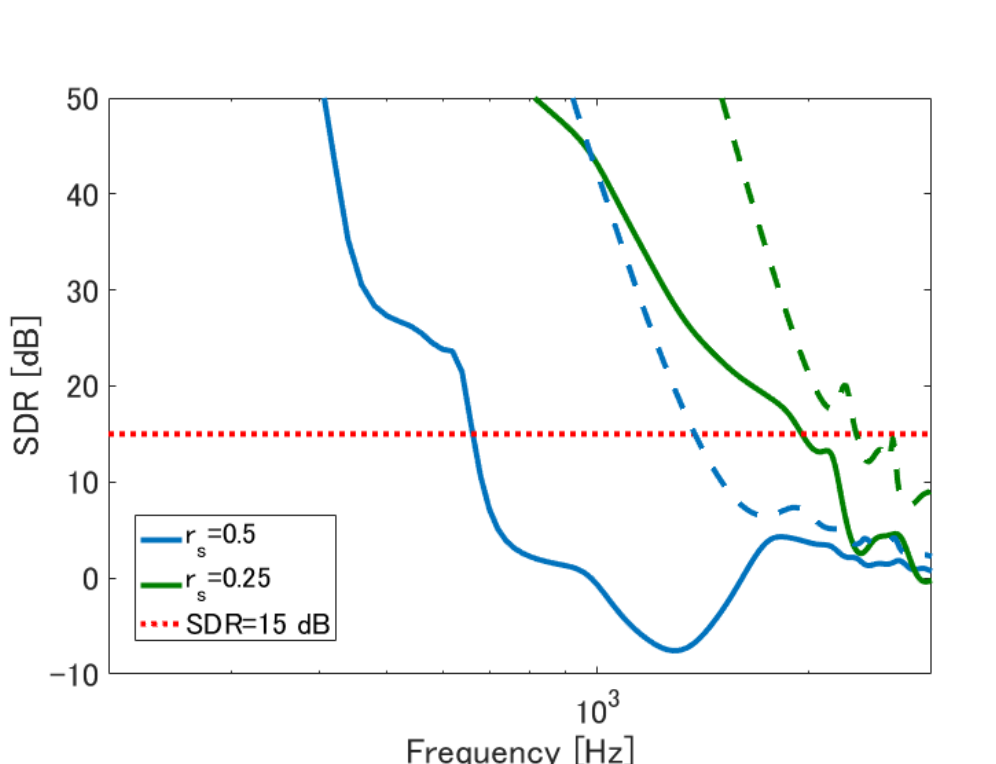


PMとの比較

アレイ距離0.5 m
 目標音場A
 @1000 Hz
 左: PM
 右: 提案手法 ($\lambda \rightarrow 0$)



帯域(SDR)
 200 - 3000 Hz
 破線: PM
 実線: 提案手法 ($\lambda \rightarrow 0$)



まとめ

- 本研究では、円調和展開領域で、2つの剛体円形スピーカアレイを用いた外側音場再現手法を提案した。
- 計算機シミュレーションで音場の再現を確認できた。
- 本稿で提案されたスピーカアレイのモードと各次数の音場展開係数との関係は、複数剛円形スピーカアレイの研究に適用できると考えられる。